

Роль полиморфных вариантов генов NO-синтаз и аргиназы при бронхиальной астме у детей

Батожаргалова Б.Ц.^{1,3}, Мизерницкий Ю.Л.¹, Дьякова С.Э.¹, Петрова Н.В.², Зинченко Р.А.^{2,1}

¹ Научно-исследовательский клинический институт педиатрии им. академика Ю.Е. Вельтищева Федерального государственного бюджетного образовательного учреждения высшего образования «Российский национальный исследовательский медицинский университет им. Н.И. Пирогова» Министерства здравоохранения Российской Федерации, г.Москва

² Федеральное государственное бюджетное научное учреждение «Медико-генетический научный центр», г.Москва

³ Государственное бюджетное учреждение здравоохранения Морозовская детская городская клиническая больница Департамента здравоохранения г.Москвы

В статье представлены результаты исследования ассоциаций генов NO-синтаз и аргиназы у детей с бронхиальной астмой, проживающих на территории г.Москвы. Всего обследовано 207 детей и подростков (у 107 установлен диагноз «бронхиальная астма»; 100 составили группу контроля). Проведен анализ полиморфизма генов *NOS1*, *NOS2*, *NOS3*, *ARG1*, *ARG2*. Установлена ассоциация бронхиальной астмы в общей выборке, а также у мальчиков и девочек с полиморфными вариантами гена *NOS2A* (CCTTT)_n. Гендерных различий не выявлено. Определены значимые межгенные взаимодействия полиморфных локусов исследованных генов NO-синтаз и аргиназы, связанные с риском развития бронхиальной астмы у детей данной выборки. Выявлена ассоциация комбинации генотипов *NOS2A* (CCTTT)_n*SL x *ARG2* (rs3742879)*AA с повышенным риском развития бронхиальной астмы у девочек.

Ключевые слова: бронхиальная астма, дети, полиморфизмы генов *NOS1*, *NOS2*, *NOS3*, *ARG1*, *ARG2*, межгенные взаимодействия.

Информация о конфликте интересов. Авторы заявляют об отсутствии конфликтов интересов.

Исследование выполнено при частичной финансовой поддержке РФФИ в рамках научного проекта №17-04-00288, РНФ 17-15-01051.

Role of polymorphic variants of NO synthase and arginase genes in child bronchial asthma

Batozhargalova B.T.^{1,3}, Mizernitski Y.L.¹, Diakova S.E.¹, Petrova N.V.², Zinchenko R.A.^{2,1}

¹ Academician Yu. E. Veltishchev Research Clinical Institute of Pediatrics, N.I. Pirogov Russian National Research Medical University, Ministry of Health of the Russian Federation, Moscow

² Federal state scientific budgetary Institution «Science Research Centre for Medical Genetics», Moscow

³ Morozov City Children's Clinical Hospital, Moscow Healthcare Department

The results of associations study of NO-synthase and arginase genes and asthma of children living in Moscow are presented. 207 children and adolescents are examined (107 with asthma and 100 healthy controls). Analysis of polymorphism of *NOS1*, *NOS2*, *NOS3*, *ARG1*, *ARG2* genes was carried out. The association of asthma and polymorphic variants CCTTT_n of *NOS2A* gene was established in the total group and in the groups of boys and girls. Gender differences were revealed. Significant gene-gene interactions of polymorphic loci of the studied genes NO-synthase and arginase in the asthma development were determined. Associations of combinations of *NOS2A* (CCTTT)_n*SL x *ARG2* (rs3742879)*AA genotypes with the increased risk of asthma development in girls has been revealed.

Keywords: bronchial asthma, children, polymorphisms of genes *NOS1*, *NOS2*, *NOS3*, *ARG1*, *ARG2*, gene-gene interactions.

Введение

Оксид азота II (NO) играет важную роль в патогенезе аллергических заболеваний дыхательных путей. Уровень NO (FeNO) в выдыхаемом воздухе значительно повышается у детей с эозинофильным воспалением дыхательных путей, бронхиальной астмой (БА) [1–3].

NO синтезируется из L-аргинина при участии трех изоформ NO-синтаз (NOS): нейрональной NOS (*nNOS*, кодируемой геном *NOS1*); эндотелиальной NOS (*eNOS*, кодируемой геном *NOS3*); и индуцибелльной NOS (*iNOS*, кодируемой геном *NOS2A*). Все три NOS-изоформы экспрессируются в эпителии дыхательных путей [1–4].

Аргиназа (ARG) конкурирует с NOS за общий субстрат L-аргинин. У человека определены две изоформы ARG (кодируемые генами *ARG1* и *ARG2*). Обе изоформы экспрессируются в эпителии дыхательных путей, гладких мышцах, перибронхиальной и периваскулярной соединительной ткани [5].

Таким образом, исследование полиморфизма генов ферментов, синтезирующих из L-аргинина NO и орнитин у детей, больных БА, позволит верифицировать аллели и генотипы, определяющие подверженность к развитию БА и различным особенностям течения этого заболевания.

Цель исследования — провести анализ ассоциаций БА с полиморфными вариантами генов *NOS1*, *NOS2*, *NOS3*, *ARG1*, *ARG2* у детей, проживающих в г.Москве.

Материалы и методы

Обследовано 207 детей, проживающих в г. Москве. У 107 детей установлена БА: у 74 юношей (45,6%) и у 33 девушек (54,4%). У 84 (78,5%) подростков БА сочеталась с аллергическим ринитом. Сочетание БА с аллергическим ринитом и атопическим дерматитом отмечено у 16 чел. (15,0%). Средний возраст обследованных детей составил $12,1 \pm 3,1$ года. Диагноз устанавливался в соответствии с критериями, изложенными в Национальной программе «Бронхиальная астма у детей. Стратегия лечения и профилактика» (2012). Исследование одобрено Этическим комитетом НИКИ педиатрии. Пациенты и их родители, а также здоровые индивиды контрольной группы подписали письменное информированное согласие на добровольное проведение исследования и анализ ДНК. Больные госпитализировались в отделение хронических воспалительных и аллергических заболеваний легких (научный руководитель — д.м.н., профессор Мизерницкий Ю.Л.) Обособленного структурного подразделения «НИКИ педиатрии им. академика Ю.Е. Вельтищева» ФГБОУ ВО РНИМУ им. Н.И. Пирогова.

Контрольную группу составили 100 здоровых подростков (средний возраст $18,3 \pm 1,5$ года): 33 юноши и 62 девушки. Рассматриваемая выборка больных БА и контрольной группы на 91,6% представлена русскими.

Дизайн сравнительного исследования основывался на модели случай-контроль (по отношению к заболеванию БА).

Молекулярно-генетические исследования выполнены в лаборатории генетической эпидемиологии ФГБНУ «МГНЦ» (зав. — д.м.н. проф. Зинченко Р.А.). Материалом исследования являлась ДНК, выделенная из лейкоцитов периферической крови, стандартным методом фенольно-хлороформной экстракции. Полимеразную цепную реакцию ДНК проводили на амплификаторе фирмы «ДНК-технологии» (Россия). Для определения нуклеотидных замен проводили гидролиз амплифицированных фрагментов соответствующими рестриктазами. Разделение фрагментов ДНК после амплификации и рестрикции проводили методом электрофореза в 8% полиакриламидном геле («Helicon»). Идентификация фрагментов ДНК проводилась путем окрашивания геля раствором бромистого этидия (5 мкг/л) с последующей визуализацией в проходящем УФ-свете и использованием системы фотодокументации «Vilber Lourmat» (Франция).

Изучение полиморфизма генов *NOS1* и *NOS2* проводили методом ПЦР, генов *ARG1* (rs2781667), *ARG2* (rs3742879) — ПЦР с последующим ПДРФ анализом с использованием праймеров для генотипирования, разработанных в лаборатории генетической эпидемиологии ФГБНУ «МГНЦ» (табл. 1). Генотипирование полиморфизма гена *NOS3* проводили согласно общепринятым методикам.

Для каждого из изучаемых ДНК-маркеров проводили оценку соответствия распределения генотипов ожидаемым значениям при равновесии Харди—Вайнберга

Праймеры

Таблица 1

Ген (локус)	Последовательность праймера	Рестриктаза	Аллель (длина, п.н.)
<i>NOS1</i> (VNTR)	F 5'- TGCCTCTGAGTCTGAGCTGT -3' R 5'- TTACATCATGGAAACTGGCAAC -3'	—	<i>nNOS*9</i> — 113 <i>nNOS*10</i> — 116 <i>nNOS*11</i> — 119 <i>nNOS*12</i> — 202 <i>nNOS*13</i> — 205 <i>nNOS*14</i> — 208 <i>nNOS*15</i> — 211 <i>nNOS*</i>
<i>NOS2</i> (VNTR)	F 5'- ACC CCT GGA AGC CTA CAA CTG CAT-3' R 5'- GCC ACT GCA CCC TAG CCT GTC TCA-3'	—	<i>iNOS*9</i> — 141 <i>iNOS*10</i> — 146 <i>iNOS*11</i> — 151 <i>iNOS*12</i> — 156 <i>iNOS*13</i> — 161 <i>iNOS*14</i> — 166 <i>iNOS*15</i> — 171 <i>iNOS*16</i> — 176 <i>iNOS*</i>
<i>NOS3</i> (VNTR)	F 5'- AGGCCCTATGGTAGTGCCTTT-3' R 5'- GAGACCAGGTGGCTTCTAAGT-3'	—	*A (4) — 393 п.н. *B (5) — 420 п.н.
<i>ARG1</i> (rs2781667)	F 5'- AAGGATTTAATGGATTATGAAGC-3' R 5'- CAAATGCAGTTGGGCCTCT-3'	Alul	*C — 50+318 п.н. *T — 24+26+318 п.н.
<i>ARG2</i> (rs3742879)	F 5'- CTGCTATTCCACATCATTGCCG -3' R 5'- TGGTAAGAGCCATGTCCAAGC -3'	MspI	*A — 122 п.н. *G — 21+201 п.н.

(PXB). Для сравнения распределений частот аллелей и генотипов в выборках больных и здоровых использовали критерий χ^2 . Силу ассоциаций оценивали с помощью показателя отношения шансов Odds Ratio (OR) и указанием 95% доверительного интервала (ДИ). Для расчетов использовали программу «Калькулятор для расчета статистики в исследованиях «случай-контроль» (http://test.tapotili.ru/calculator_or.php), Epi Info 7. Статистически значимыми считали различия при $p < 0,05$.

Анализ межгенных взаимодействий проводили методом редукции мультифакторных пространств — Multi-factor Dimentionality Reduction (MDR) (mdr-2.0_beta_8.3; <http://www.multifactordimensionalityreduction.org/>) и ее модифицированной версии GMDR (Generalized Multifactor Dimentionality Reduction) (www.health-system.virginia.edu/internet/addictiongenomics/ software).

Результаты и обсуждение

Нами проведен анализ частот аллелей и генотипов генов NO-синтаз (*NOS1* (ATT)_n, *NOS2A* (CCTTT)_n, *NOS3* (VNTR)) и аргиназы (*ARG2* (rs3742879) и *ARG1* (rs2781667)) у больных БА и здоровых индивидов г.Москвы (табл. 2).

Распределение частот генотипов исследуемых полиморфизмов *NOS1* (ATT)_n, *NOS2A* (CCTTT)_n, *ARG1* (rs2781667) соответствует равновесию Харди—Вайнберга ($p > 0,05$) (табл. 2).

При анализе распределения частот генотипов полиморфизма *NOS3* (VNTR) у больных БА и *ARG2*

(rs3742879) в контрольной группе выявлено отклонение от равновесия Харди—Вайнберга ($p = 0,04$, $p = 0,03$), связанное с недостатком гетерозигот.

Ген *NOS1* локализован регионе 12q24. Проведен анализ tandemных повторов (AAT)_n в интроне 20 гена *NOS1* [6].

Идентифицировано 7 аллелей с числом повторов AAT от 9* до 15* и 16 генотипов в гене *NOS1* (ATT)_n.

Нами не установлено ассоциации полиморфизма *NOS1* (ATT)_n с развитием БА. Частота аллелей SS гена *NOS1* (ATT)_n составила у больных БА — 0,682; в контрольной группе — 0,740 ($p < 0,05$) (табл. 2).

Полученные данные сопоставимы с исследованиями, выполненными американскими и китайскими учеными у детей с БА, и у больных БА из Санкт-Петербурга, в которых также не было выявлено ассоциации гена *NOS1* (ATT)_n с развитием этого заболевания [7—9].

Ген *NOS3* (eNOS) (163729 OMIM) локализован в регионе 7q36. В гене *NOS3* проведен анализ мини-сателлитного полиморфизма, обусловленного варьирующим числом tandemных 27 п.н. повторов (VNTR) в интроне 4; определялись два аллеля *4 и *5. Нами не установлено ассоциации данного полиморфизма с развитием БА. Частота аллеля 4 гена *NOS3* (VNTR) составила у больных БА — 0,164; в контрольной группе — 0,145 ($p \leq 0,05$) (табл. 2).

Полученные результаты у больных БА согласуются с данными литературы, не выявившими ассоциации гена *NOS3* (VNTR) с развитием БА у жителей Санкт-Петербурга, Британии и Чехии [10—12].

Таблица 2

Частота аллелей и генотипов генов-кандидатов, ассоциированных с развитием бронхиальной астмы

Аллели и генотипы	Частота аллелей и генотипов		χ^2 ; p	OR [95%ДИ]
	БА (n = 107)	Контроль (n = 100)		
<i>NOS1</i> (ATT) _n				
Аллели	n = 214	n = 200		
S 9-11 повторов	146 (0,682)	148 (0,740)	1,68; $p = 0,2$	
L 12-15 повторов	68 (0,318)	52 (0,260)		
*9	6 (0,028)	2 (0,010)	$p > 0,05$	
*10	134 (0,626)	142 (0,710)		
*11	6 (0,028)	4 (0,020)	$p > 0,05$	
*12	30 (0,140)	28 (0,140)		
*13	28 (0,131)	16 (0,080)	$p > 0,05$	
*14	9 (0,042)	6 (0,030)		
*15	1 (0,005)	2 (0,010)	$p > 0,05$	
Генотипы	n = 107	n = 100		
SS	52 (0,486)	56 (0,560)	1,57; $p = 0,46$	
SL	42 (0,393)	36 (0,360)		
LL ≥ 12 повторов	13 (0,121)	8 (0,080)		
PXB (χ^2 , p)	0,96; $p > 0,05$	0,42; $p > 0,05$		

Таблица 2 (окончание)

Аллели и генотипы	Частота аллелей и генотипов		χ^2 ; p	OR [95%ДИ]
	БА (n = 107)	Контроль (n = 100)		
<i>NOS2A (CCTTT)_n</i>				
Аллели	n = 214	n = 200		
S 9-11 повторов	68 (0,318)	29 (0,145)	17,20; p = 0,00003	2,75 [1,69 – 4,47]
L 12-16 повторов	146 (0,682)	171 (0,855)		0,36 [0,22 – 0,59]
*9	4 (0,019)	3 (0,015)	p>0,05	
*10	24 (0,112)	11 (0,055)	4,36 p = 0,037	2,17 [1,0-4,6]
*11	40 (0,187)	15 (0,075)	11,24 p = 0,0008	2,84 [1,51-5,32]
*12	75 (0,351)	138 (0,690)	47,71 p<0,0000001	0,24 [0,16-0,37]
*13	39 (0,182)	14 (0,070)	11,67 p = 0,00064	2,96 [1,55-5,64]
*14	17 (0,079)	14 (0,070)	p>0,05	
*15	13 (0,061)	2 (0,010)	6,24 p = 0,013	6,40 [1,43-28,74]
*16	2 (0,009)	3 (0,015)	p>0,05	
Генотипы	n = 107	n = 100		
S/S+S/L	56 (0,523)	27 (0,270)	13,81; p = 0,0002	2,97 [1,66 – 5,31]
LL ≥12 повторов	51 (0,477)	73 (0,730)		0,34 [0,19 – 0,60]
*12/*12	18 (0,168)	51 (0,510)	27,17 p = 0,0000004	0,19 [0,10 – 0,37]
PXB (χ^2 , p)	0,28; p>0,05	0,01; p>0,05		
<i>NOS3 (VNTR 27 п.н. в интроне 4 гена eNOS)</i>				
Аллели	n = 214	n = 200		
*4	35 (0,164)	29 (0,145)	0,27; p = 0,6	
*5	179 (0,836)	171 (0,855)		
Генотипы	n = 107	n = 100		
*4/*4	0	2 (0,020)	3,44; p = 0,18	
*4/*5	35 (0,327)	25 (0,250)		
*5/*5	72 (0,673)	73 (0,730)		
PXB (χ^2 , p)	4,09; p = 0,04	0,01; p>0,05		
<i>ARG2 (rs3742879)</i>				
Аллели	n = 214	n = 200		
A	132 (0,617)	133 (0,665)	1,04; p = 0,31	
G	82 (0,383)	67 (0,335)		
Генотипы	n = 107	n = 100		
AA	42 (0,393)	49 (0,490)	2,37; p = 0,31	
AG	48 (0,449)	35 (0,350)		
GG	17 (0,159)	16 (0,160)		
PXB (χ^2 , p)	0,28; p>0,05	4,60; p = 0,03		
<i>ARG1 (rs2781667)</i>				
Аллели	n = 214	n = 200		
T	212 (0,991)	200 (1,000)	1,88; p = 0,17	
C	2 (0,009)	0		
Генотипы	n = 107	n = 100		
TT	105 (0,991)	100 (1,000)	1,89; p = 0,39	
TC	2 (0,009)	0		
CC	0	0		
PXB (χ^2 , p)	0,01 p>0,05	0; p>0,05		

Примечание. аллеи генов *NOS1*, *NOS2* с числом повторов меньше одиннадцати — "короткие" аллеи (S), аллеи с числом повторов более двенадцати — "длинные" аллеи (L) (выделены в таблице серым фоном).

Ген *NOS2A* расположен на 17-й хромосоме (17q11.2-q12) в локусе, кодирующем хемокин СС. В промоторной области гена *iNOS* находится функционально значимый полиморфизм (CCTTT)_n, который влияет на транскрипцию гена. У европейцев обнаружено тринадцать различных аллелей. Аллели с восемью или девятью повторами CCTTT имеют более низкие уровни транскрипционной активности, чем аллели с 12–15 повторами [13].

Исследован полиморфизм *NOS2A* (CCTTT)_n у больных БА и здоровых индивидов контрольной группы. Идентифицировано 8 аллелей с числом повторов CCTTT от 9* до 16* и 26 генотипов.

Установлены различия в частоте встречаемости аллелей, содержащих короткие tandemные повторы (S9–11), и сочетаний генотипов SS или SL по гену *NOS2A* (CCTTT)_n в группах пациентов и здоровых индивидов.

Частота аллелей, содержащих короткие tandemные повторы S, выше у больных (0,318), чем в контрольной группе (0,145) ($p = 0,00003$; OR = 2,75 [1,69–4,47]).

При рассмотрении частот каждого аллеля гена *NOS2A* (CCTTT)_n в общей выборке выявлены значимые различия по четырем исследуемым аллелям. Частота аллеля 11* в группе больных БА оказалась выше по сравнению с контрольной группой (0,187 против 0,075; $p = 0,0008$; OR = 2,84; 95% ДИ [1,51–5,32]; то же в отношении аллеля 13* (0,182 против 0,070; $p = 0,00064$; OR = 2,96; 95% ДИ [1,55–5,64] и аллеля 15* (0,061 против 0,010; $p = 0,013$; OR = 6,40; 95% ДИ [1,43–28,74]. Частота аллеля 12* гена *NOS2A* (CCTTT)_n у больных БА была ниже, чем в контрольной группе (0,351 против 0,690; $p < 0,0000001$; OR = 0,24; 95% ДИ [0,16–0,37]) (табл. 2).

Генотипы распределены на три группы: SS, SL и LL. Частота генотипов SS или SL в выборке больных БА оказалась выше (0,523), чем в контроле (0,270; $p = 0,0002$; OR = 2,97; 95%ДИ [1,66–5,31]) (табл. 2).

Выявлены достоверные различия только по одному генотипу *12/*12 из 26 представленных генотипов гена *NOS2A* (CCTTT)_n в данной выборке. Частота генотипа *12/*12 в контрольной группе (0,510) была выше, чем среди больных БА (0,168) $p = 0,0000004$; OR = 0,19; 95% CI [0,10–0,37].

Полученные нами результаты согласуются с данными исследований, выявивших ассоциацию развития БА у русских подростков Забайкальского края с геном *NOS2A* (CCTTT)_n, а у жителей Испании с аллелем *NOS2A* (CCTTT)_n*15 [14,15].

Аргинин в организме является субстратом как для NO-синтаз, так и аргиназы. Экспрессия аргиназы усиливается при БА и варьирует в зависимости от типа иммунного ответа (Th2), уровней цитокинов ИЛ-4 и ИЛ-13, оксидативного стресса. Оксид азота модулирует активность аргиназы, что обеспечивает адекватные уровни предшественников полиаминов и пролина, в свою очередь, стимулирующих рост клеток и синтез

коллагена. Поэтому активность аргиназы может определять выраженность воспаления и индуцированного ремоделирования в дыхательных путях при БА [16–18].

Аргиназа катализирует гидролиз аргинина в орнитин и мочевину. Две изоформы аргиназы различаются по их распределению в тканях, субклеточной локализации, иммунологической перекрестной реактивности и физиологическим функциям. Изоформа ARG1 является цитозольным ферментом, и экспрессируется преимущественно в печени в качестве компонента цикла мочевины. Унаследованный дефицит этого фермента приводит к аргининемии, аутосомно-рецессивному заболеванию, характеризующемуся гипераммониемией. Изоформа ARG2 расположена в митохондриях и экспрессируется во внепечечночных тканях. Физиологическая роль этой изоформы недостаточно исследована и, вероятно, в большей степени связана с развитием фиброза и ремоделированием дыхательных путей, чем ARG1 [16–18].

Гены аргиназы связаны с атопией, так как при сниженной активности кодируемого ими фермента, возрастает уровень свободного L-аргинина, который при участии NOS обуславливает повышенную выработку эндогенного бронходилататора NO. Изменения в гомеостазе L-аргинина могут влиять на такие особенности астмы, как гиперактивность и выраженность воспаления дыхательных путей, их ремоделирование. Наоборот, высокая активность аргиназы истощает запасы L-аргинина, приводя к снижению синтеза NO при участии NOS, что соответствующим образом влияет на тонус бронхов [16–18].

Ген *ARG1* расположен в регионе 6q23, ген *ARG2* расположен в регионе 14q24. Нами не выявлено ассоциации развития БА с полиморфизмами генов *ARG1* (rs2781667) и *ARG2* (rs3742879) ($p < 0,05$) (табл. 2).

Наши результаты совпадают с сообщениями мексиканских исследователей об отсутствии ассоциации полиморфизма rs2781667 гена *ARG1* у детей с развитием БА [19].

При рассмотрении гендерных различий распределение частот генотипов исследуемых полиморфизмов *NOS1* (ATT)_n, *NOS2A* (CCTTT)_n, *NOS3* (VNTR), *ARG1* (rs2781667) *ARG2* (rs3742879) у больных БА и в контрольной группе соответствовало РХВ ($p > 0,05$) (табл. 3).

Значимых гендерных различий в частоте аллелей и генотипов, исследуемых полиморфизмов генов *NOS1* (ATT)_n, *NOS3* (VNTR), *NOS2A* (CCTTT)_n, *ARG2* (rs3742879), *ARG1* (rs2781667) не установлено.

Установлена ассоциация БА как у мальчиков, так и у девочек с аллелями, содержащими короткие tandemные повторы (S9–11) гена *NOS2A* (CCTTT)_n по сравнению с контролем (OR = 4,31 [1,84–10,10]; $p = 0,0004$ и OR = 2,48 [1,25–4,92]; $p = 0,008$ соответственно). Определены различия в частоте встречаемости генотипов. Так сочетание генотипов SS или SL гена *NOS2A* (CCTTT)_n как у мальчиков, так и у девочек в группах больных БА обнаруживается достоверно чаще, чем у здоровых (OR = 4,43 [1,73–11,32]; $p = 0,001$ и OR = 2,85 [1,19–6,82]; $p = 0,02$ соответственно).

Частота аллеля 11* гена *NOS2A* (CCTTT)_n как у мальчиков, так и у девочек, больных БА, выше, чем в контроле. Частота аллеля 12* и генотипа *12/*12 исследуемого гена оказалась выше в контрольной группе, чем у больных. Достоверные различия в частоте аллеля 13* гена *NOS2A* (CCTTT)_n определены только у девочек ($p = 0,027$) (табл. 3).

У обследованных больных проведена оценка межгенных взаимодействий исследованных полиморфных локусов генов-кандидатов развития БА в детерминации риска развития бронхиальной астмы. Для выборки моделей использованы алгоритмы полного поиска (Exhaustive search algorithm), который оценивал все возможные сочетания генотипов в отношении риска развития бронхиальной астмы, и алгоритм принудительного поиска (Forced search algorithm), при котором генные локусы для исследования сочетаний генотипов в программе MDR и GMDR определялись по выбору исследователя [20].

Исследование межгенных взаимодействий у больных БА выявило по одной значимой двухлокусной модели

сочетаний генов, предрасполагающих к развитию БА в общей выборке и у девушек. У юношей значимых взаимодействий не выявлено.

Среди всех n-локусных моделей наиболее значимой оказалась двухлокусная модель взаимодействия полиморфных генов: *NOS3* (VNTR) x *NOS2A* (CCTTT)_n в общей выборке и *NOS2A* (CCTTT)_n x *ARG2* (rs3742879) в выборке девушек (табл. 4).

Для каждой модели межгенных взаимодействий сравнили частоты встречаемости генотипов взаимодействующих генов в выборках больных БА и здоровых. На рис. 1 показано распределение двухлокусных сочетаний генотипов полиморфизмов *NOS3* (VNTR) x *NOS2A* (CCTTT)_n в общей выборке (рис. 1А) и *NOS2A* (CCTTT)_n x *ARG2* (rs3742879) у девушек (рис. 1Б), ассоциированных с повышенным и пониженным риском БА у больных.

Характер распределения генотипов в ячейках повышенного и пониженного риска может свидетельствовать об эпистатических взаимодействиях данных генов.

Таблица 3

Значимые ассоциации гена *NOS2A* (CCTTT)_n с развитием бронхиальной астмы: гендерные различия

NOS2A (CCTTT) _n								
Аллели	Мальчики		χ^2 ; p	OR [95%ДИ]	Девочки		χ^2 ; p	OR [95%ДИ]
	БА (n = 148)	Контроль (n = 66)			БА (n = 66)	Контроль (n = 124)		
S 9-11 повторов	45 (0,304)	7 (0,092)	12,65; p = 0,0004	4,31 [1,84 – 10,10]	23 (0,348)	22 (0,177)	6,97; p = 0,008	2,48 [1,25 – 4,92]
L 12-16 повторов	103(0,696)	69 (0,908)		0,23 [0,10 – 0,54]	43 (0,652)	102 (0,823)		0,40 [0,20 – 0,80]
*11	25 (0,169)	3 (0,046)	5,08; p = 0,024	4,27 [1,24 – 14,68]	15 (0,227)	12 (0,097)	6,01; p = 0,014	2,75 [1,20 – 6,28]
*12	52 (0,351)	56 (0,848)	45,13; p<0,0000001	0,1 [0,05 – 0,21]	23 (0,349)	82 (0,661)	17,05; p = 0,00004	0,27 [0,15 – 0,51]
*13	28 (0,189)	7 (0,106)	p>0,05		11 (0,167)	7 (0,056)	4,88; p = 0,027	3,34 [1,23 – 9,09]
Генотипы	n = 74	n = 38			n = 33	n = 62		
SS	8 (0,108)	—	11,60; p = 0,003	9,84 [0,55 – 175,28]	4 (0,121)	2 (0,032)	6,71; p = 0,03	4,14 [0,72 – 23,92]
SL	29 (0,392)	7 (0,184)		2,85 [1,11 – 7,33]	15 (0,455)	18 (0,290)		2,04 [0,85 – 4,90]
LL ≥12 повторов	37 (0,500)	31 (0,632)		0,23 [0,09 – 0,58]	14 (0,424)	42 (0,677)		0,35 [0,15 – 0,84]
*12/*12	11 (0,424)	22 (0,677)	22,37; p = 0,000007	0,13 [0,05 – 0,32]	7 (0,500)	29 (0,632)	4,94; p = 0,026	0,31 [0,12 – 0,81]
Генотипы	n = 74	n = 33			n = 33	n = 62		
S/S+S/L	37 (0,500)	7 (0,184)	10,50; p = 0,001	4,43 [1,73 – 11,32]	19 (0,576)	20 (0,323)	5,70; p = 0,02	2,85 [1,19 – 6,82]
LL ≥12 повторов	37 (0,500)	31 (0,816)		0,23 [0,09 – 0,58]	14 (0,424)	42 (0,677)		0,35 [0,15 – 0,84]
PXB (χ^2 , p)	0,41 p>0,05	0,39; p>0,05			0; p>0,05	0; p>0,05		

Оптимальные модели межген- ных взаимодействий	Опытная взвешенная точность	Контрольная взве- шенная точность	Тест на значимость (p)	Воспроизводимость модели (CV consis- tency)
Общая выборка				
<i>NOS3</i> (VNTR) x <i>NOS2A</i> (CCTTT) _n	0,6379	0,6131	10 (0,0010)	6/10
Девочки				
<i>NOS2A</i> (CCTTT) _n x <i>ARG2</i> (rs3742879)	0,6923	0,6613	9 (0,0107)	10/10
Мальчики				
<i>NOS2A</i> (CCTTT) _n x <i>NOS1</i> (ATT) _n <i>ARG2</i> (rs3742879)	0,7191	0,6253	8 (0,0547)	8/10

В нашей работе не выявлено ассоциации каждого из двух отмеченных полиморфизмов (*NOS3* (VNTR)) в отдельности с развитием БА у больных в общей выборке, и в выборке у девушек *ARG2* (rs3742879), но в сочетании друг с другом они детерминировали развитие данного заболевания.

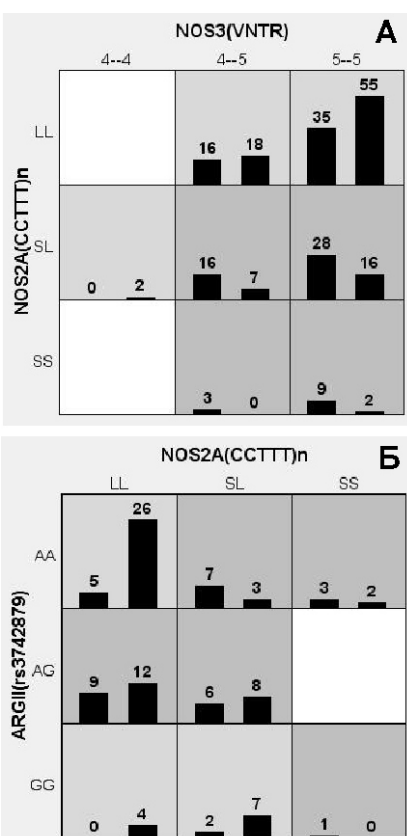


Рис. 1. Графическое представление моделей межгенных взаимодействий генов-кандидатов предрасположенности к развитию бронхиальной астмы (MDR). Двухлокусная (темно-серый цвет — генотипы повышенного риска; светло-серый цвет — генотипы пониженного риска; в каждой ячейке слева — группа больных, справа — контрольная группа): А — в общей выборке; Б — у девочек.

При попарном сравнении частот встречаемости определены наиболее значимые сочетания генотипов повышенного и пониженного риска развития БА (табл. 5).

У больных общей выборки установлен только генотип пониженного риска развития БА в двухлокусной модели *NOS3* (VNTR)*5/5 — *NOS2A* (CCTTT)_n*LL (OR = 0,4 [0,2—0,7]; p = 0,0012).

У девочек обнаружена ассоциация комбинации генотипов *NOS2A* (CCTTT)_n*SL x *ARG2* (rs3742879)*AA с повышенным риском развития бронхиальной астмы (OR = 5,30 [1,3—22,1]; p = 0,034) и с пониженным риском развития заболевания *NOS2A* (CCTTT)_n*LL x *ARG2* (rs3742879)*AA (OR = 0,36 [0,1—0,7]; p = 0,016).

С помощью программы MDR (forced algorithm — форсированный алгоритм) проведен кластерный анализ пятилокусной модели, результаты которого отражают характер взаимодействия и вклад полиморфизма каждого гена. На рисунке 2 показана дендрограмма, представляющая кластерную структуру взаимодействия изучаемых генов (5 локусов) у больных БА в общей выборке (2A), в группе девочек (2B) и мальчиков (2C).

Ведущую роль в развитии БА из числа изученных генов в общей выборке играет ген *NOS2A* (CCTTT)_n. Взаимодействие всех пяти полиморфных локусов характеризуется антагонизмом разной степени выраженности, более выраженным в отношении *NOS3* (VNTR) и *ARG1* (rs2781667). Менее выраженный антагонизм определен в отношении взаимодействия генов *ARG2* (rs3742879) и *NOS1* (ATT)_n (рис. 2A).

У девочек также ведущую роль в развитии БА играет ген *NOS2A* (CCTTT)_n. Однако взаимодействие трех генов является синергичным *NOS2A* (CCTTT)_n, *ARG2* (rs3742879) и менее синергичным для *NOS1* (ATT)_n. Антагонистический эффект предполагается для локусов *NOS3* (VNTR) (3,27%). Ген *ARG1* (rs2781667) не связан с исследуемыми генами (рис. 2B).

Основная роль в развитии БА у юношей также отводится гену *NOS2A* (CCTTT)_n. Ген *NOS2A* (CCTTT)_n взаимодействует синергично с генами *ARG1* (rs2781667) и *NOS1* (ATT)_n. Отсутствие связи или независимость

Таблица 5

Генотипы повышенного и пониженного риска бронхиальной астмы в общей выборке и у девушек

Комбинация генотипов, n (%)	БА	Контроль	χ^2 , p	OR [95%ДИ]
Двухлокусная модель в общей выборке				
Комбинация генотипов пониженного риска				
<i>NOS3</i> (VNTR)*5/5 x <i>NOS2A</i> (CCTTT) _n *LL	35 (32,7%)	55 (55%)	10,45; p = 0,0012	0,40 [0,2-0,7]
Двухлокусная модель у девочек				
Комбинация генотипов повышенного риска				
<i>NOS2A</i> (CCTTT) _n *SL x <i>ARG2</i> (rs3742879)*AA	7 (21,2%)	3 (4,8%)	4,51; p = 0,034	5,30 [1,3-22,1]
Комбинация генотипов пониженного риска				
<i>NOS2A</i> (CCTTT) _n *LL x <i>ARG2</i> (rs3742879)*AA	5 (15,2%)	26 (41,9%)	5,86; p = 0,016	0,25 [0,1-0,7]

эффектов отдельных локусов демонстрируют гены *ARG2* (rs3742879) и *NOS3* (VNTR).

Таким образом, проведенный анализ межгенных взаимодействий дал возможность установить ДНК-локусы исследованных генов, взаимодействующие при развитии наследственной предрасположенности к БА в общей выборке и у девушек, оценить вклад каждого из

исследуемых генов. Анализ межгенных взаимодействий позволил установить их сложный характер между генами NO-синтаз и аргиназы при БА и возможные патогенетические различия воздействия внешнесредовых факторов риска в развитии БА.

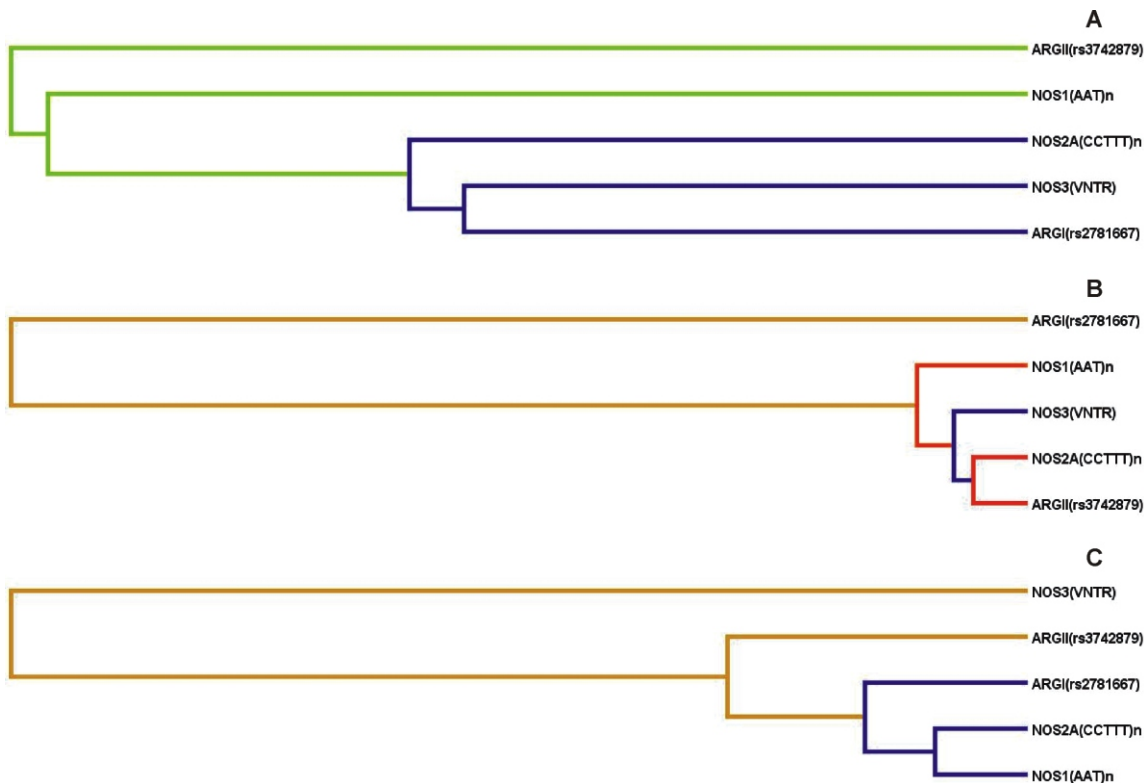


Рис. 2. Дендрограмма кластерной структуры взаимодействия исследованных генов у больных БА в общей выборке (2А), у девушек (2В) и у юношей (2С). Цвета в легенде: красный цвет обозначает высокую степень взаимодействия (синергизм), оранжевый — меньшую степень синергизма; синий — высокую степень антагонизма, зеленый — меньшую степень антагонизма, коричневый — отсутствие связи или независимость эффектов отдельных локусов.

Выводы

Выявлены генетические маркеры повышенного риска развития бронхиальной астмы у детей, проживающих в г.Москве (как в общей выборке, так и в выборке у девочек). Установлена ассоциация развития бронхиальной астмы в общей выборке с геном *NOS2* (CCTTT)_n. Гендерных различий в развитии БА при исследовании генов NO-синтаз и аргиназы не установлено. Выявлена ассоциация развития БА с полом, как у мальчиков, так и у девочек с локусами генов *NOS2A* (CCTTT)_n. Носительство аллелей, содержащих короткие tandemные повторы S и сочетание генотипов SS+SL гена *NOS2A* (CCTTT)_n является фактором риска развития бронхиальной астмы, как в общей выборке, так и в выборках у мальчиков и у девочек. Определена ассоциация частот аллелей *11, *13, 15* гена *NOS2A* (CCTTT)_n с повышенным риском развития БА, напротив аллель *12 и генотип *12/*12 обладали протективным эффектом.

Выявлены различия межгенных взаимодействий (в общей выборке и у девочек), предрасполагающих к развитию БА.

Полученные результаты анализа межгенных взаимодействий свидетельствуют, что ключевая роль в предрасположенности к БА (из числа исследованных) у больных БА принадлежит генам индуцибелльной синтазы оксида азота *NOS2A* (CCTTT)_n и *NOS3* (VNTR) в общей выборке, а у девочек — *NOS2A* (CCTTT)_n и полиморфизму rs 3742879 гена *ARG2*. У девочек установлена ассоциация комбинации генотипов *NOS2A* (CCTTT)_n*SL x *ARG2* (rs3742879)*AA — с повышенным риском, а *NOS2A* (CCTTT)_n*LL x *ARG2* (rs3742879)*AA — с пониженным риском развития бронхиальной астмы.

У больных общей выборки установлен только генотип пониженного риска развития БА в двухлокусной модели *NOS3* (VNTR)*5/5 — *NOS2A* (CCTTT)_n*LL.

Выявленные закономерности помогают лучше понять генетические механизмы наследственного предрасположения к БА.

Список литературы

- Bastain TM, Islam T, Berhane KT et al. Exhaled nitric oxide, susceptibility and new-onset asthma in the children's health study. Eur. Respir. J. 2010; 37: 523-531.
- Fitzpatrick AM, Brown LA, Holguin F, Teague WG. Levels of nitric oxide oxidation products are increased in the epithelial lining fluid of children with persistent asthma. J. Allergy. Clin. Immunol. 2009; 124: 990-996.
- Pijnenburg MW, De Jongste JC. Exhaled nitric oxide in childhood asthma: a review. Clin. Exp. Allergy. 2008; 38: 246-259.
- Sheffield M, Mabry S, Thibault DW, Truong WE. Pulmonary nitric oxide synthases and nitrotyrosine: findings during lung development and in chronic lung disease of prematurity. Pediatrics. 2006; 118: 1056-1064.
- Morris SM. Enzymes of arginine metabolism. J. Nutr. 2004; 134: 2743-2747S.
- Grasemann H, Drazen JM, Elliot AD et al. Simple Tandem Repeat Polymorphisms in the Neuronal Nitric Oxide Synthase Gene in Different Ethnic Populations. Hum. Hered. 1999; 49: 139-141.
- Wechsler ME, Grasemann H, Deykin A et al. Exhaled nitric oxide in patients with asthma: association with *NOS1* genotype. Am J Respir Crit Care Med. 2000; 162: 2043-2047.
- Leung TF, Liu EKH, Tang NLS et al. Nitric oxide synthase polymorphisms and asthma phenotypes in Chinese children. Clin. Exp. Allergy. 2005; 35 (10): 1288-1294.
- Келембет НА. Клинико-генетические особенности формирования бронхобструктивного синдрома при моногенных (муковисцидоз) и мультифакториальных (бронхиальная астма) заболеваниях легких. Автореф. дис. ... канд. мед. наук. Санкт-Петербург, 2005; 17 с.
- Сардярян ИС. Фенотипические особенности бронхиальной астмы у детей при различных аллельных полиморфизмах генов «предрасположенности» (GSTT1, GSTM1, ACE, eNOS). Автореф. дис. ... канд. мед. наук. Санкт-Петербург, 2009; 22 с.
- Gao PS, Kawada H, Kasamatsu T et al. Variants of *NOS1*, *NOS2*, and *NOS3* genes in asthmatics. Biochem. Biophys. Res. Commun. 2000; 267 (3): 761-763.
- Holla LI, Stejskalova A, Znojil V et al. Analysis of the inducible nitric oxide synthase gene polymorphisms in Czech patients with atopic diseases. Clin. Exp. Allergy. 2006; 36: 1592-1601.
- Warpeha KM, Xu W, Liu L et al. Genotyping and functional analysis of a polymorphic (CCTTT) (n) repeat of *NOS2A* in diabetic retinopathy. FASEB J. 1999; 13: 1825-1832.
- Батожаргалова БЦ, Петрова НВ, Тимковская ЕЕ и др. Межполовые различия при анализе ассоциаций генов-кандидатов с риском развития бронхиальной астмы у подростков. Вопросы практической педиатрии. 2014; 9 (5): 14-19.
- Pascual M, Sanz C, Isidoro-Garcia M et al. (CCTTT)_n polymorphism of *NOS2A* in nasal polyposis and asthma: a case-control study. J. Investig. Allergol. Clin. Immunol. 2008; 18 (4): 239-244.
- Zimmermann N, Rothenberg ME. The arginine-arginase balance in asthma and lung inflammation. Eur. J. Pharmacol. 2006; 533: 253-262.
- Benson RC, Hardy KA, Morris CR. Arginase and Arginine Dysregulation in Asthma. Journal of Allergy. 2011; 736319: 1-12.
- Maarsingh H, Zaagsma J, Meurs H. Arginase: a key enzyme in the pathophysiology of allergic asthma opening novel therapeutic perspectives. British Journal of Pharmacology. 2009; 158: 652-664.
- Li H, Romieu I, Sienra-Monge JJ et al. Genetic polymorphisms in arginase I and II and childhood asthma and atopy. J. Allergy Clin. Immunol. 2006; 117 (1): 119-126.
- Su MW, Tung KY, Liang PH et al. Gene-gene and gene-environmental interactions of childhood asthma: a multifactor dimension reduction approach. PLoS One. 2012; 7 (2): e30694.